引用本文:刘皎皎,李粉萍,杨跃青,等.白花蛇舌草提取物对肝癌细胞 JNK/p38MARK 通路及细胞学行为的影响 [J].安徽医药,2022,26(8):1496-1500. \mathbf{DOI} :10.3969/j.issn.1009-6469.2022.08.003.



◇药学研究◇

白花蛇舌草提取物对肝癌细胞 JNK/p38MARK 通路 及细胞学行为的影响

刘皎皎,李粉萍,杨跃青,何瑾瑜,曹雪艳,薛敬东,叶苗青作者单位:陕西省中医医院肝病科,陕西 西安710003 通信作者:何瑾瑜,女,副主任医师,研究方向为中西医结合内科,Email;chrisandlm@126.com 基金项目:国家自然科学基金(81373513);2018年国家中医药管理局区域中医(肝病) 诊疗中心培育单位建设项目[国中医药办医政函(2017)39号]

摘要: 目的 研究白花蛇舌草提取物(HDE)对肝癌 QGY细胞增殖、凋亡的影响,并探讨其抗肿瘤的可能作用机制。方法体外培养肝癌 QGY细胞,分为对照组:RPMI-1640培养基培养;阳性对照组:全反式维甲酸(AT-RA)(5 μmol/L);白花蛇舌草提取物(HDE)低、中、高剂量组:分别给予 20、40、80 g/L HDE。四甲基偶氮唑盐比色法(MTT)检测细胞增殖能力,采用Hoechst33258 荧光染色以及流式 AnnexinV-FITC/PI 双染法检测细胞凋亡率;通过蛋白质印迹法(Western blotting)检测增殖相关蛋白增殖细胞核抗原(PCNA)、凋亡相关蛋白 B淋巴细胞瘤基因-2(Bel-2)、Bel-2 相关 X蛋白基因(Bax)、半胱氨酰天冬氨酸特异性蛋白酶 3(caspase3)及 JNK/p38MARK通路相关蛋白水平。结果 24、48 h时 QGY细胞增殖抑制率,与对照组[(16.56±3.15)%、(19.27±3.33)%]同时间点比较,20、40、80 g/L HDE组[24 h(33.37±11.36)%、(47.57±13.62)%、(59.37±16.95)%,48 h(36.56±10.03)%、(50.59±13.87)%、(63.61±16.99)%]、阳性对照组[(60.43±17.09)%、(64.63±17.15)%]均显著升高(P<0.05)。与对照组比较,20、40、80 g/L 浓度 HDE 处理后 QGY细胞凋亡率、Bax、caspase-3 蛋白均显著升高(P<0.05),PCNA、Bel-2 蛋白、p-JNK/JNK、p-p38/p38表达降低(P<0.05),且均呈浓度依赖性,80 g/L HDE组细胞凋亡率、Bax、caspase-3、PCNA、Bel-2 蛋白、p-JNK/JNK、p-p38/p38表达与阳性对照组比较差异无统计学意义(P>0.05)。结论 HDE可抑制肝癌 QGY细胞增殖,促进 QGY细胞凋亡,可能是通过抑制 JNK/p38MARK 通路活化进而发挥抗肿瘤作用。

关键词: 白花蛇舌草提取物; 肝肿瘤; c-Jun 氨基末端激酶/p38 丝裂原活化蛋白激酶通路; QGY 细胞株; 增殖; 凋亡

Effects of hedyotis diffusa extract on JNK/p38MARK pathway and cytological behavior of hepatoma cells

LIU Jiaojiao,LI Fenping,YANG Yueqing,HE Jinyu,CAO Xueyan,XUE Jingdong,YE Miaoqing Author Affiliation:Shaanxi Hospital of Traditional Chinese Medicine,Xi'an,Shaanxi 710003,China

Abstract: Objective To study the effects of hedyotis diffusa extract (HDE) on the proliferation and apoptosis of hepatoma QGY cells, and to explore the possible mechanism of its anti-tumor effect. Methods The QGY cells were cultured in vitro and divided into control group: cultured in RPMI-1640 culture medium; positive control group: all trans retinoic acid (AT-RA) (5 µmol/L); low, medium and high dose groups of Hedvotis diffusa extract (HDE): 20, 40 and 80 g/L HDE respectively. MTT method was used to detect cell proliferation, Hoechst33258 fluorescence staining and flow Annexin V-FITC/PI double staining were used to detect the apoptosis rate; in addition, the levels of proliferating cell nuclear antigen (PCNA), B-lymphoma gene-2 (Bcl-2), Bcl-2 related X protein gene (Bax), caspase-3 and JNK/p38MARK pathway related proteins were detected by Western blotting. Results Compared with those in the control group[(16.56±3.15)%,(19.27±3.33)%] at the same time point, the inhibition rate of QGY cell proliferation in 20, 40, 80 g/L HDE groups $[24\ h(33.37\pm11.36)\%, (47.57\pm13.62)\%, (59.37\pm16.95)\%, 48\ h(36.56\pm10.03)\%, (50.59\pm13.87)\%, (63.61\pm16.99)\%]\ and\ positive\ control$ group[$(60.43\pm17.09)\%$, $(64.63\pm17.15)\%$] at 24, 48 h increased significantly (P<0.05). Compared with those in the control group, the apoptosis rate, Bax and caspase-3 protein of QGY cells after treatment with HDE with concentration of 20, 40 and 80 g/L increased significantly (P < 0.05), the expressions of PCNA, Bcl-2 protein, p-JNK/JNK, p-p38/p38 decreased (P<0.05), and all of them were concentration dependent, while there was no significant difference in apoptosis rate, Bax, Caspase-3, PCNA, Bcl-2 protein, p-JNK/JNK, p-p38/ p38 expressions between the 80 g/L HDE group and the positive control group (P>0.05). Conclusion HDE can inhibit the proliferation of QGY cells of liver cancer and promote the apoptosis of QGY cells, which may play an anti-tumor role by inhibiting the activation of JNK/p38MARK pathway.

Key words: Hedyotis diffusa extract; Liver neoplasms; C-Jun N-terminal kinase/p38 mitogen-activated protein kinase pathway; QGY cell line; Proliferation; Apoptosis

肝癌是我国常见恶性肿瘤之一,近年来其发病 率呈逐渐升高趋势,且在我国肿瘤致死原因中位居 第二[1-2]。目前临床常用的抗肿瘤药物多是以传统 的核酸和蛋白质为靶点的细胞毒性药物,具有选择 性差、毒性作用强、作用机制单一、易产生耐药性等 特点,因此在中药中寻找毒副作用小、疗效显著的 抗肿瘤药物已然是国内外学者研究的热点[3-4]。白 花蛇舌草属于茜草科耳草属植物,全草入药,研究 表明,白花蛇舌草提取物(hedyotis diffusa extract, HDE)对肝癌 HepG2细胞有较好的生长抑制及凋亡 诱导作用[5]。丝裂原活化蛋白激酶(mitogen-activated protein kinase, MAPK)通路与多种肿瘤(如肝癌) 发生发展密切相关,其家族成员JNK、p38与细胞分 化、凋亡等有关[6]。然而,有关HDE对肝癌细胞 JNK/p38MARK通路的影响鲜有报道,因此本研究自 2019年8月至2020年4月通过分析不同浓度HDE 对肝癌细胞 JNK/p38MARK 通路的影响,探讨 HDE 抗癌的可能作用机制。

1 材料与方法

1.1 材料 肝癌 QGY 细胞株(购买于中国科学院 上海生物科学研究所);白花蛇舌草提取物(HDE) (10:1)购自陕西吴辰生物科技有限公司;全反式维 甲酸 (all-transretinoic acid, AT-RA) (批号 H20093943,纯度99.99%)购自成都恒瑞医药公司, 二甲基亚砜(DMSO,批号O2258)购自美国Sigma公 司, RPMI-1640培养基(批号NBC1255)购自美国Hyclone 公司,10% 胎牛血清(批号42G5642)购自美国 Gibco公司,3-2(4,5-二甲基噻唑-2)-2-四甲基偶氮 噻唑蓝(MTT,批号 M5176)购自美国 Sigma 公司,胰 蛋白酶(批号J1510032)购自广州Ruka公司生产;鼠 抗人增殖细胞核抗原(PCNA)、凋亡相关蛋白B淋巴 细胞瘤基因-2(Bcl-2)、Bcl-2相关X蛋白基因(Bax)、 半胱氨酰天冬氨酸特异性蛋白酶3(caspase-3)、p-JNK、p-p38、β肌动蛋白(β-actin)—抗及羊抗鼠二抗 购自赛默飞世尔科技有限公司; AnnexinV-FITC/PI 细胞凋亡双染试剂盒(货号HUDY03)购自上海碧云 天公司。二氧化碳培养箱购自日本 Sanyo 公司, Hochest33258购自美国Sigma-Aldrich公司;酶标仪 (型号 HBS-1096C)、凝胶成像系统(型号 Gel Doc1000)购自美国Bio-Rad公司;光学显微镜(型号 WMSC-1037)购自上海无陌光学厂。

1.2 方法

1.2.1 细胞培养 复苏肝癌 QGY 细胞,培养于含 15% 灭活胎牛血清、100 U/mL青霉素、100 g/L链霉素的 RPMI-1640 培养基中,防止细菌污染,培养于 37℃饱和湿度、5% 二氧化碳、20% 氧培养箱中,每

- 2~3 天更换一次培养液,无菌操作,待细胞生长良好,且达对数生长期时进行后续实验。
- 1.2.2 药物处理及分组 取"1.2.1"中对数生长期的肝癌 QGY细胞,以密度为1×10⁴个/孔接种于接种在96孔板中,分为对照组、阳性对照组、低中高HDE组。(1)对照组:RPMI-1640培养基组;(2)阳性对照组:AT-RA(5μmol/L);(3)HDE低、中、高剂量组:分别给予20、40、80 g/L HDE^[7]。继续培养48 h。
- 1.2.3 MTT 法检测 HDE 对 QGY 细胞增殖能力的影响 取"1.2.2"各组 QGY 细胞接种于96孔板进行培养,每个孔细胞密度为1×10⁴个,每组设6个复孔,分别于培养12、24、48 h后向各孔加入 MTT 20 μL,继续培养4 h后,弃去上清,加入150 μL DMSO,振荡10 min,使蓝紫色结晶充分溶解。全自动酶标仪测定570 nm波长处吸光度 A 值。细胞增殖抑制率= [1-药物组 A 值/对照组 A 值]×100%。
- 1.2.4 Hoechest33258 荧光染色法检测细胞凋亡形态 收集"1.2.2"中各组细胞,按照 Hoechest33258 荧光染色法说明进行操作,置于荧光显微镜下观察 48 h时的细胞凋亡形态并拍照。
- 1.2.5 流式 AnnexinV-FITC/PI 双杂法检测各组QGY细胞凋亡情况 取"1.2.2"中各组细胞,严格按照 AnnexinV-FITC/PI细胞凋亡双染试剂盒说明书,胰酶消化细胞后生理盐水洗涤后制成1×10°个/升单细胞悬液,取其中100μL后加入5μL AnnexinV-FITC与5μL PI混合均匀,室温避光孵育15 min,上流式细胞仪进行检测培养48 h 各组 QGY细胞凋亡情况,并通过 Modfir LT软件分析试验结果。每组设置三个重复。
- 1.2.6 蛋白质印迹法(Western blotting)检测增殖、凋亡及JNK/p38MARK通路相关蛋白表达变化 取"1.2.2"各组细胞,每组均设3个重复,PBS洗涤2遍,冰上加裂解液,裂解30 min,离心取上清,通过蛋白提取试剂盒提取细胞总蛋白,BCA试剂盒测定细胞总蛋白浓度,经电泳、转模、封闭后,添加(1:500)鼠抗人PCNA、Bcl-2、caspase-3、JNK、p-JNK、p-p38、p38一抗,以β-actin为内参,4°C过夜后,TBST洗膜3次,添加羊抗鼠二抗(1:5000)稀释液孵育2h,TBST洗膜,ECL化学发光法显色后,于凝胶成像仪中观察蛋白表达并保存图像。
- **1.3** 统计学方法 运用 SPSS 20.0 统计软件对数据进行分析,计量资料以 $\bar{x} \pm s$ 表示,多组数据比较采用单因素方差分析,进行方差齐性检验,组间有差异采用LSD-t检验,以P<0.05 为差异有统计学意义。

2 结果

2.1 HDE 对肝癌 QGY 细胞增殖的影响 与对照

组比较,24 h时 HDE组、阳性对照组 QGY 细胞增殖增殖抑制率差异无统计学意义(P>0.05),48、72 h时20、40、80 g/L HDE组、阳性对照组 QGY 细胞增殖抑制率均显著升高(P<0.05);与阳性对照组比较,80 g/L HDE组 QGY 细胞增殖抑制率差异无统计学意义(P>0.05)。随着培养时间的延长,20、40、80 g/L HDE组、阳性对照组 QGY 细胞增殖抑制率显著升高(P<0.05)。见表 1。

表1 QGY 细胞增殖抑制率变化/($%,\bar{x}\pm s$)

组别	重复 次数	12 h	24 h	48 h
对照组	6	12.23±3.10	16.56±3.15 ⁴	19.27±3.33 ^⑤
阳性对照组	6	14.45±3.62	60.43±17.09 ^{①234}	64.63±17.15 ^{①②③④⑤}
HDE组	6			
20 g/L		12.36±3.13	33.37±11.36 ^{①④}	36.56±10.03 ^{①④⑤}
$40~\mathrm{g/L}$		13.15±3.17	$47.57 \pm 13.62^{\oplus 2}$	50.59±13.87 ^{①②④⑤}
80 g/L		13.78±3.33	59.37±16.95 ^{①234}	63.61±16.99 ^{①②③⑤}
F值		0.50	11.48	12.50
P值		0.739	0.000	0.000

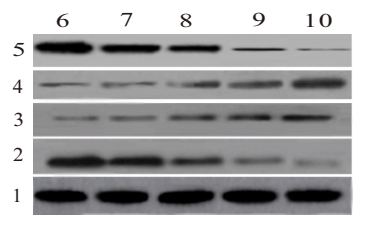
注:①与对照组比较,P<0.05。②与 HDE(20 g/L)组比较,P<0.05。③与 HDE(40 g/L)组比较,P<0.05。④与 24 h 比较,P<0.05。⑤与 48 h 比较,P<0.05。

2.2 细胞形态学观察 对照组 QGY 细胞呈浅蓝色 荧光,颜色分布均匀。经不同浓度的 HDE 处理后的 QGY 细胞 72 h后均呈现出明显的凋亡特征,随着浓度的增加,细胞数量逐渐减少,呈现浓缩致密的固缩形态或颗粒状态的凋亡细胞数增加,细胞核染色质聚集,断裂成块状,并伴有明显的细胞碎片形成。见图 1。

2.3 不同浓度 HDE 对肝癌 QGY 细胞凋亡率的影响 与对照组(4.65±0.91)%相比,不同浓度 HDE组细胞凋亡率显著升高(*P*<0.05),且随 HDE浓度(20、40、80 g/L)升高细胞凋亡率逐渐升高[(15.83±3.11)%、(17.27±3.25)%、(20.69±4.03)%, *P*<0.05];与阳性对照组(20.73±4.05)%相比, HDE 为 80 g/L

时,细胞凋亡率差异无统计学意义(P>0.05)。

2.4 不同浓度 HDE 处理对肝癌 QGY 细胞增殖、凋亡相关蛋白表达影响 与对照组相比,HDE组 PC-NA、Bcl-2蛋白表达降低(P<0.05),Bax、caspase-3蛋白表达升高(P<0.05),且呈剂量依赖性;与阳性对照组相比,HDE为 80 g/L 时,PCNA、Bcl-2、Bax、caspase-3蛋白表达差异无统计学意义(P>0.05)。见图 2.表 2。



注: $1-\beta$ 肌动蛋白(β-actin);2-B 淋巴细胞瘤基因-2(Bcl-2);3-Bcl-2相关 X蛋白基因(Bax);4-半胱氨酰天冬氨酸特异性蛋白酶 3(caspase-3);5-增殖细胞核抗原(PCNA);6-对照组;7-HDE(20 g/L)组;8-HDE(40 g/L)组;9-HDE(80 g/L)组;10-阳性对照组。 **图2** 不同浓度 HDE处理对肝癌 QGY 细胞增殖、凋亡相关蛋白表达

2.5 不同浓度 HDE 处理对 JNK/p38MARK 通路相关蛋白表达影响 与对照组相比, HDE组 p-JNK、p-p38 蛋白表达水平均显著降低(P<0.05), 且呈剂量依赖; 与阳性对照组相比, HDE浓度为80 g/L时, p-JNK、p-p38 蛋白表达差异无统计学意义(P>0.05)。见图 3、表 3。

3 讨论

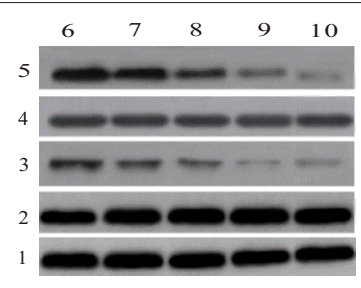
我国是肝癌高发国家之一,肝癌死亡率占我国全部恶性肿瘤死亡率的19%左右[8]。肝癌发病确切分子机制尚不清楚,多认为是多因素(如多基因突变、多条细胞信号传导通路、肿瘤新生血管生成异常等)、多环节过程[9-10]。目前,分子靶向治疗肝癌取得了一定成效,但化学抗肿瘤药物研发成本昂贵且有较大的毒副作用[11-12],因此从天然产物及中草药中挖掘低毒、高效抗肿瘤药物意义重大。

白花蛇舌草是茜草科植物,具有清热解毒、利

表2 不同浓度 HDE 处理对肝癌 QGY 细胞增殖、凋亡相关蛋白表达影响/x ± s

组别	重复次数	PCNA	Bax	caspase-3	Bel-2
对照组	6	1.08±0.23	0.19±0.04	0.22±0.05	0.93±0.18
阳性对照组	6	$0.39 \pm 0.07^{\oplus 2/3}$	$0.41 \pm 0.08^{\oplus 23}$	$0.90\pm0.15^{\oplus23}$	$0.21 \pm 0.03^{\oplus 2/3}$
HDE组	6				
20 g/L		$0.96 \pm 0.19^{\odot}$	$0.22 \pm 0.05^{\odot}$	$0.35\pm0.07^{\odot}$	$0.87 \pm 0.17^{\odot}$
40 g/L		$0.85 \pm 0.17^{\oplus 2}$	$0.28 \pm 0.06^{\odot 2}$	0.55±0.11 ^{①②}	0.59±0.11 ^{©2}
80 g/L		$0.46 \pm 0.09^{\oplus 23}$	$0.39 \pm 0.08^{\oplus 23}$	$0.89 \pm 0.15^{\oplus 23}$	$0.23\pm0.04^{\oplus23}$
F值		21.58	14.30	44.41	45.96
P值		< 0.001	< 0.001	< 0.001	< 0.001

注:PCNA 为增殖细胞核抗原,Bax 为 Bcl-2 相关 X 蛋白基因,caspase-3 为半胱氨酰天冬氨酸特异性蛋白酶 3,Bcl-2 为 B淋巴细胞瘤基因-2。 ①与对照组比较,P<0.05。②与 HDE(20 g/L)组比较,P<0.05。③与 HDE(40 g/L)组比较,P<0.05。



注:1-β肌动蛋白(β-actin);2-p38;3-p-p38;4-JNK;5-p-JNK;6-对照组;7-HDE(20 g/L)组;8-HDE(40 g/L)组;9-HDE(80 g/L)组;10-阳性对照组。

图3 不同浓度 HDE 处理对 JNK/p38MARK 通路相关蛋白表达影响

表3 不同浓度 HDE 处理对 JNK/p38MARK 通路相关蛋白 表达影响

组别	例数	p-JNK/JNK	p-p38/p38
对照组	6	1.07±0.22	0.82±0.16
阳性对照组	6	$0.42 \pm 0.08^{\oplus 23}$	$0.20 \pm 0.04^{\oplus 23}$
HDE组	6		
20 g/L		$0.96 \pm 0.19^{\odot}$	$0.77 \pm 0.15^{\odot}$
40 g/L		$0.87 \pm 0.18^{\odot 2}$	$0.53\pm0.10^{\odot2}$
80 g/L		$0.43 \pm 0.09^{\oplus 23}$	$0.22 \pm 0.05^{\oplus 23}$
F值		21.24	41.51
P值		< 0.001	< 0.001

注:①与对照组比较,P<0.05。②与HDE(20 g/L)组比较,P<0.05。③与HDE(40 g/L)组比较,P<0.05。

尿消肿等作用,研究表明其对多种肿瘤细胞株具有 诱导凋亡作用[13]。本研究发现当不同浓度 HDE 作 用于肝癌细胞株 QGY, 处 12 h时, 细胞增殖抑制率 与对照组差异无统计学意义,可能此时药物还未发 生作用,当处理24 h、48 h时,细胞增殖抑制率随浓 度升高而增高,提示 HDE 可抑制肝癌 QGY 细胞增 殖,且随HDE浓度的增加增殖抑制率升高。细胞凋 亡是一个错综复杂过程,有较多蛋白、基因参与细 胞凋亡启动及执行过程,在肿瘤进展中发挥重要作 用[14]。本研究通过 Hoechest 33258 荧光染色法观察 得到,各浓度HDE处理细胞48h后均呈现出明显的 凋亡特征,随着浓度增加,细胞数量逐渐减少,呈现 浓缩致密的固缩形态或颗粒状态的凋亡细胞数增 加,细胞核染色质聚集,断裂成块状,并伴有明显的 细胞碎片形成。双染试验中不同浓度HDE处理后 QGY细胞凋亡率均显著升高,且呈浓度依赖性,80 g/L HDE对 QGY 细胞凋亡率的影响与阳性对照组相 当,提示HDE可诱导HDE细胞凋亡。PCNA是一种 酸性核蛋白,对调节 DNA 的复制意义重大,其与细 胞增殖密切相关,表达水平可在肿瘤癌变组织中显 著上升[15]。Bcl-2是一种原癌基因,能抑制细胞凋 亡[16]。Bax 是 Bel-2 家族中最主要的促进凋亡蛋 白[17]。caspase3是凋亡途径关键执行者[18]。本研究 进一步探究显示,HDE处理组PCNA、Bcl-2蛋白表达降低,Bax、caspase-3蛋白表达升高,且呈剂量依赖性,提示HDE可抑制肝癌QGY细胞增殖、诱导凋亡。

MAPK通路是一种重要的肿瘤信号转导通路,通常由 JNK、p38通路和细胞外信号调节激酶等通路组成^[19-20]。贾蕾蕾、王爱玲^[21]研究结果显示,棉子酚可能通过 MARK信号通路中 ERK、p38的激活,缓解再灌注心肌组织氧化应激损伤及凋亡损伤。本研究 HDE 处理后,p-JNK、p-p38蛋白表达水平均显著降低,且随 HDE 浓度的增加而降低,猜测 HDE 能显著抑制 JNK、p38蛋白磷酸化,抑制 JNK、p38信号通路激活,进而发挥抑制 QGY细胞细胞增殖、促进QGY细胞细胞凋亡的抗肿瘤作用。

综上所述,HDE能抑制人肝癌细胞株QGY细胞增殖,促进QGY细胞凋亡,可能是通抑制JNK、p38MAPK信号通路活化实现的。但本研究也存在一定不足,肝癌是多途径过程,抑制MAPK通路激活可能仅为其中一条途径,对HDE抑制QGY细胞增殖,促进凋亡的潜在机制尚有待进一步探索。

(本文图1见插图8-1)

参考文献

- [1] DEBANJAN D, LAURA A, HAYATO N, et al. Liver cancer initiation requires p53 inhibition by cd44-enhanced growth factor signaling[J]. Cancer Cell, 2018, 33(6):1061-1077
- [2] TAKEHIRO N, HIDETOSHI E, HIROSHI W, et al. Short-term surgical outcomes of minimally invasive repeat hepatectomy for recurrent liver cancer[J]. Surg Endosc, 2018, 32(1):46-52.
- [3] 程春旭,高颜茹.抗肿瘤药物作用机制的研究进展[J].吉林医学,2009,30(23):3080-3083.
- [4] VERHEUL HMW, QIAN DZ, CARDUCCI MA, et al. Sequencedependent antitumor effects of differentiation agents in combination with cell cycle-dependent cytotoxic drugs [J]. Cancer Chemother Pharmacol, 2007, 60(3):329-339.
- [5] 田雪飞,肖竺,郭永良,等.归肝经中药对肝癌 HepG2细胞增殖抑制及凋亡诱导作用的研究[J].中国中西医结合急救杂志,2009,16(4):199-202.
- [6] CUI Y, JIANG L, SHAO Y, et al. Anti-alcohol liver disease effect of gentianae macrophyllae extract through MAPK/JNK/p38 pathway[J].J Pharm Pharmacol, 2019, 71(2):240-250.
- [7] 刘岩,张春阳,张大田,等.白花蛇舌草提取物诱导人肾癌 GRC-1细胞凋亡及抑制血管生成的实验研究[J].山东医药, 2011,51(8):97-98.
- [8] BUAMAH PK, HARRIS R, JAMES OF, et al. Lentil-lectin-reactive alpha-fetoprotein in the differential diagnosis of benign and malignant liver disease [J]. Clin Chem, 1986, 32(11):2083-2084.
- [9] SU YC, FENG YH, WU HT, et al. Elovl6 is a negative clinical predictor for liver cancer and knockdown of Elovl6 reduces murine liver cancer progression [J]. Sci Rep, 2018, 8 (1):

6586-6590.

- [10] CAO J, WEI R, YAO S.Matrine has pro-apoptotic effects on liver cancer by triggering mitochondrial fission and activating Mst1-JNK signalling pathways [J]. J Physiol Sci, 2019, 69(2):185-198.
- [11] CHEN L, YANG XL.TRIM11 cooperates with HSF1 to suppress the anti-tumor effect of proteotoxic stress drugs [J]. Cell Cycle, 2019, 18(1):60-68.
- [12] VERDEL BM, VAN PUIJENBROEK EP, SOUVEREIN PC, et al.
 Drug-related nephrotoxic and ototoxic reactions: a link through a
 predictive mechanistic commonality [J]. Drug Saf, 2008, 31(10):
 877-884
- [13] 侯山岭.中药白花蛇舌草化学成分及药理活性研究进展[J].中 医临床研究,2018,10(6):140-141.
- [14] 丁大伟,章永红.以细胞凋亡通路为靶点的抗肿瘤中药研究进展[J].中国老年学杂志,2018,38(1):239-241.
- [15] HARA K, UCHIDA M, TAGATA R, et al. Structure of proliferating cell nuclear antigen (PCNA) bound to an APIM peptide reveals the universality of PCNA interaction [J]. Acta Crystallographica, 2018, 74(4):214-221.
- [16] 魏炜,朱新江,陈舒晨,等.凋亡相关基因与弥漫大B细胞淋巴

- 瘤相关性的研究进展[J]. 白血病·淋巴瘤, 2019, 28(5): 314-318
- [17] DAIZ, LAI JR. Isolation of synthetic antibodies against bcl-2-associated X protein (BAX)[J]. Methods Mol Biol, 2019, 1877(38): 351-357.
- [18] ZHAO T, FU Y, SUN H, et al. Ligustrazine suppresses neuron apoptosis via the Bax/Bcl-2 and caspase-3 pathway in PC12 cells and in rats with vascular dementia[J].IUBMB Life, 2018, 70(1): 60-70
- [19] 熊婉媛,侯怀晶,于晓辉,等.肝细胞癌的发生、发展与p38MAPK信号通路关系的研究进展[J].肝脏,2018,23(8):736-739
- [20] 孙琳,李侠.环境因素经 MAPK 信号通路介导细胞凋亡的 研究进展[J]. 中华劳动卫生职业病杂志,2018,36 (10):796-800.
- [21] 贾蕾蕾,王爱玲.棉子酚通过干扰氧化应激反应、抑制 JNK/p38 MAPK 信号通路的激活减轻大鼠离体心脏缺血再灌注损伤 [J].安徽医科大学学报,2017,52(10):1424-1429.

(收稿日期:2020-06-23,修回日期:2020-08-09)

引用本文:廖文筠,张莹莹,陈睦虎,等.辅酶Q10对脓毒血症休克大鼠血管平滑肌细胞功能的影响[J].安徽医药,2022,26(8):1500-1504. \mathbf{DOI} :10.3969/j.issn.1009-6469.2022.08.004.





辅酶Q10对脓毒血症休克大鼠血管平滑肌细胞功能的影响

廖文筠",张莹莹",陈睦虎",刘英",刘济滔",阳凤",彭林",尹德锋",钟武"作者单位:西南医科大学附属医院,"急诊医学部,"老年医学科,四川 泸州 646000 通信作者:钟武,男,主任医师,研究方向为周围血管疾病及急危重症医学,Email:zhongwu2876@sina.com 基金项目:西南医科大学省厅级青年基金资助项目(0903-00031063);泸州市科技局创新苗子资助项目(17254)

摘要: 目的 探讨辅酶 Q10 对脓毒血症休克大鼠血管平滑肌细胞功能的影响及其作用机制研究。方法 采用SD大鼠尾静脉注射脂多糖(LPS)的方法建立脓毒症休克动物模型,分离取出主动脉,0.2% 胶原酶消化分离平滑肌细胞(SMCs),自然纯化及差速贴壁纯化血管平滑肌细胞,将分离后的 SMC 分别接种到 96 孔板中,分为 4组,分别为正常对照组、正常对照组+辅酶 Q10、LPS组、LPS+辅酶 Q10组,分别检测 4组的增殖和氧化应激产物产生情况,在 6、12、24、48 h后分别检测正常对照组、正常对照组+辅酶 Q10、LPS组、LPS+辅酶 Q10组 SMCs 丙二醛水平,在 48 h后检测α-肌动蛋白(α-actin)、骨桥蛋白(OPN)的相对表达量。结果 随时间推移,LPS组中 SMC 细胞凋亡和氧化应激产物均较正常对照组增多,在 48 h时达到峰值,分别增多 11.4倍和 5.6倍; LPS+辅酶 Q10组中氧化应激产物较 LPS组减少近 50%;在 48 h时辅酶 Q10在正常培养环境下对 SMC 的α-actin、OPN蛋白的相对表达量差异无统计学意义(P>0.05),而对脓毒症休克 SD 大鼠分离的 SMC 可以明显减低氧化应激产物的生成及上调α-actin蛋白的相对表达量近 1.57倍,下调 OPN蛋白的相对表达量 1.17倍。结论 由 LPS 所致的脓毒症休克的发病机制与血管中膜平滑肌细胞表型改变密切相关,辅酶 Q10 可明显减低氧化应激产物的生成及上调α-actin蛋白的相对表达量,缓解了因 LPS 所致脓毒血症休克的血管病理化转变。收缩型平滑肌细胞是正常情况下血管壁的重要组成部分,而疾病病理血管则表现为合成型,为脓毒血症休克的病理性血管形成提供理论基础。

关键词: 休克,脓毒性; 辅酶 Q10; 血管平滑肌细胞; 氧化应激; α-肌动蛋白